

# Paramètres Lombo Pelviens et Balance Sagittale du tronc

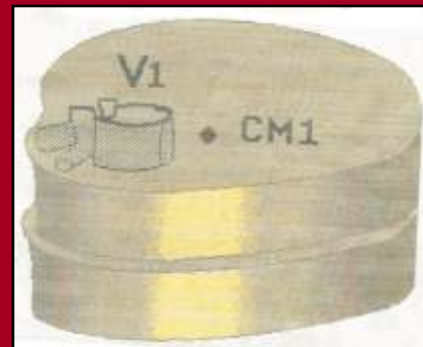
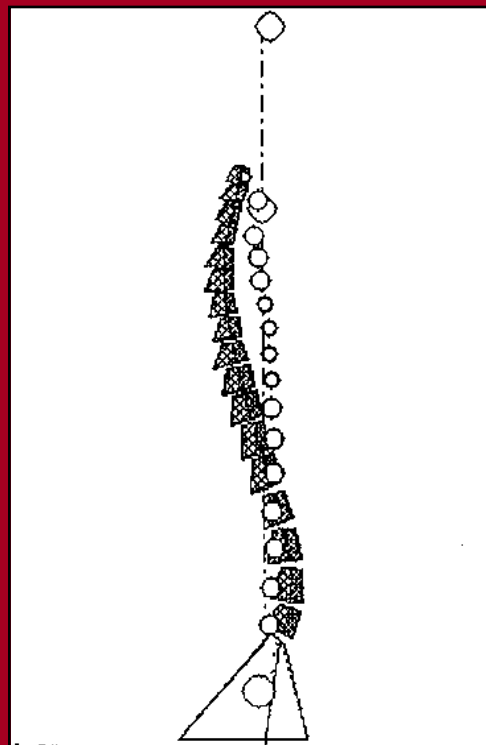
JP MONTIGNY

- Historique
- Équilibre économique
- Paramètres anatomiques
- Paramètres positionnels
- Régulation et dérégulation
- Évaluation clinique
- Évaluation radiologique

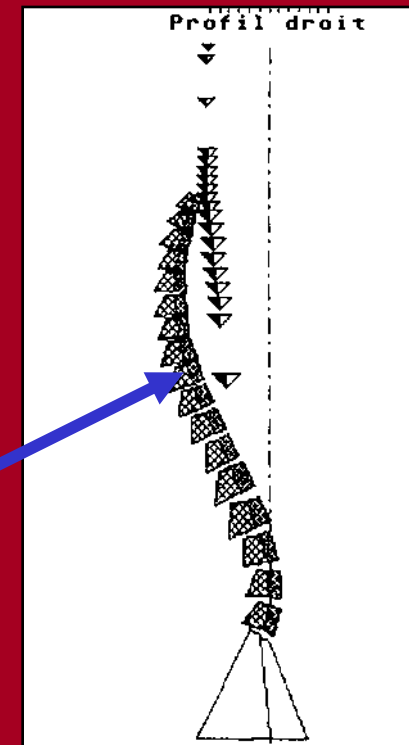
# HISTORIQUE

- Études anthropologiques : relations entre certains paramètres définissant la morphologie pelvienne, et la bipédie, chez les primates et chez l'homme
- Duval Beaupére : barycentrométrie “ ligne de gravité”
- Les courbures sagittales et le bassin
- Équilibre économique

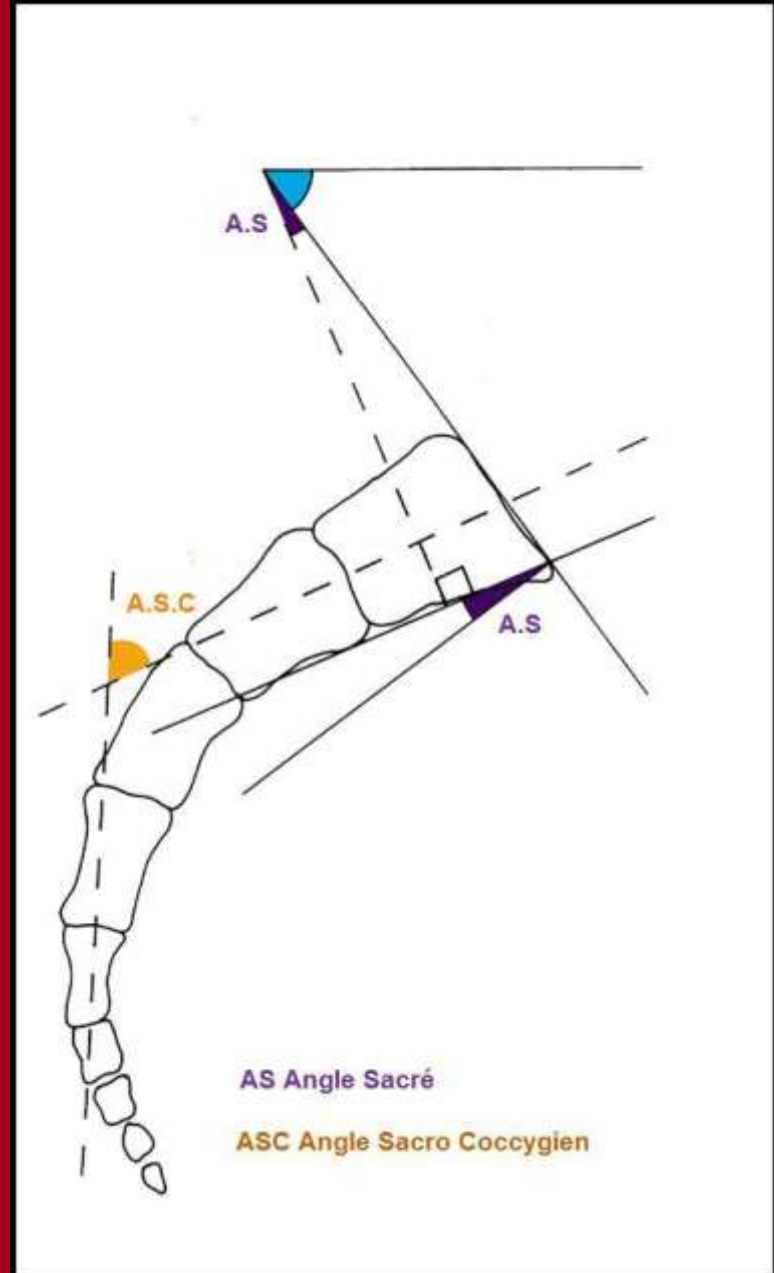
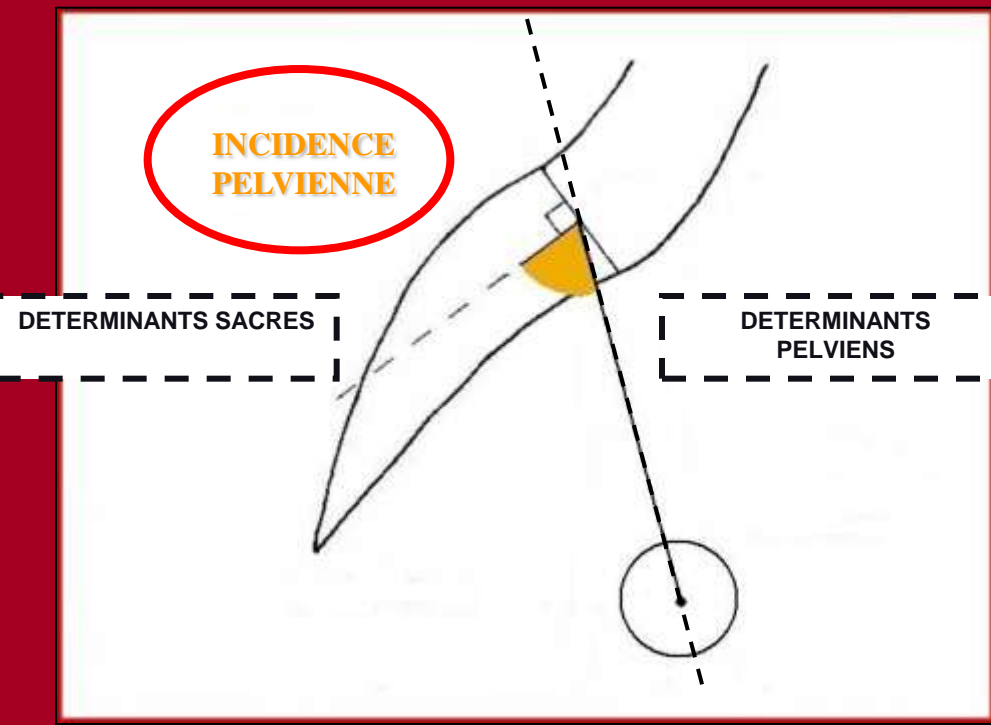
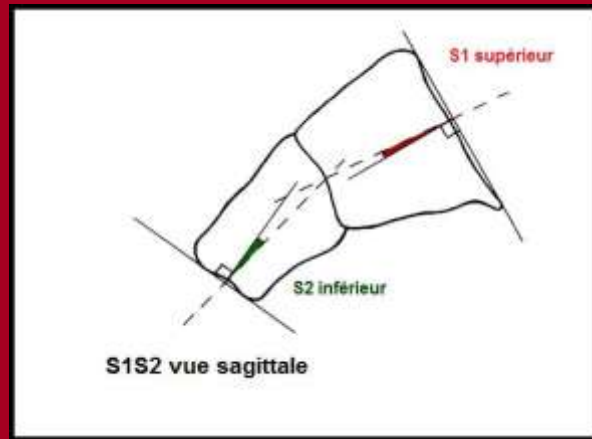
# Caractère économique de l'équilibre sagittal démontré par la Barycentremétrie



Segment supporté par les fémurs:  
G en regard D9  
70% moins de 40mm

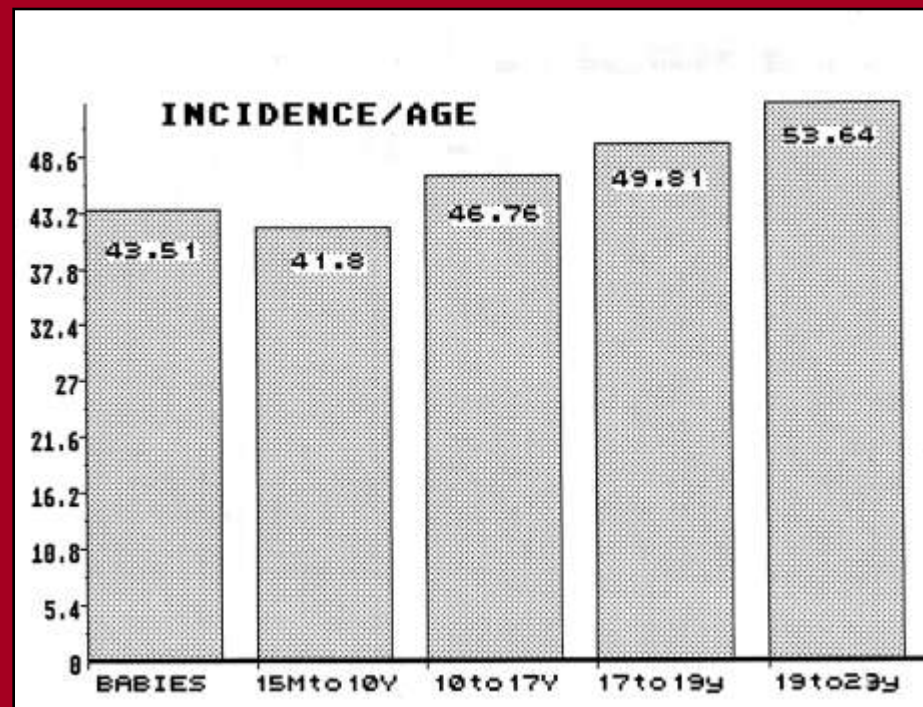
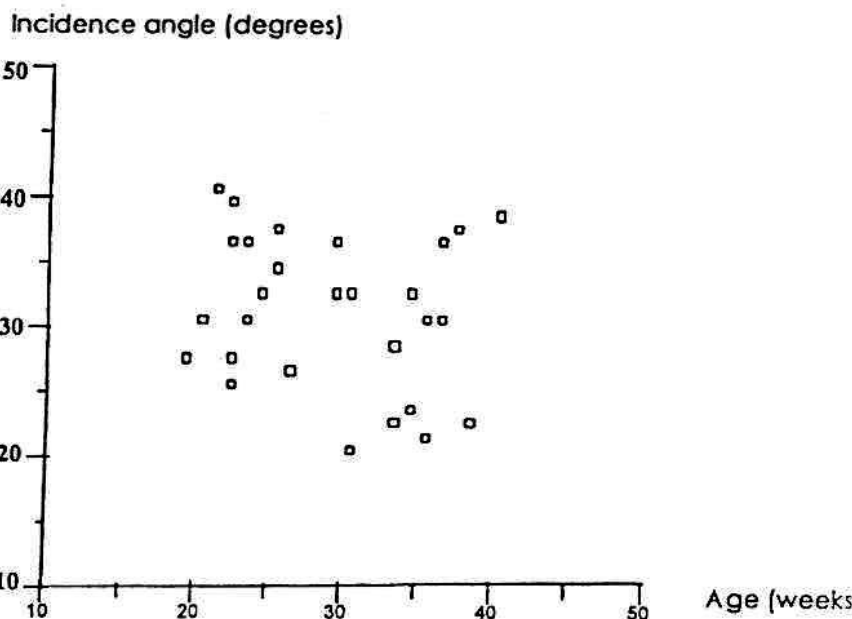


# Paramètres anatomiques



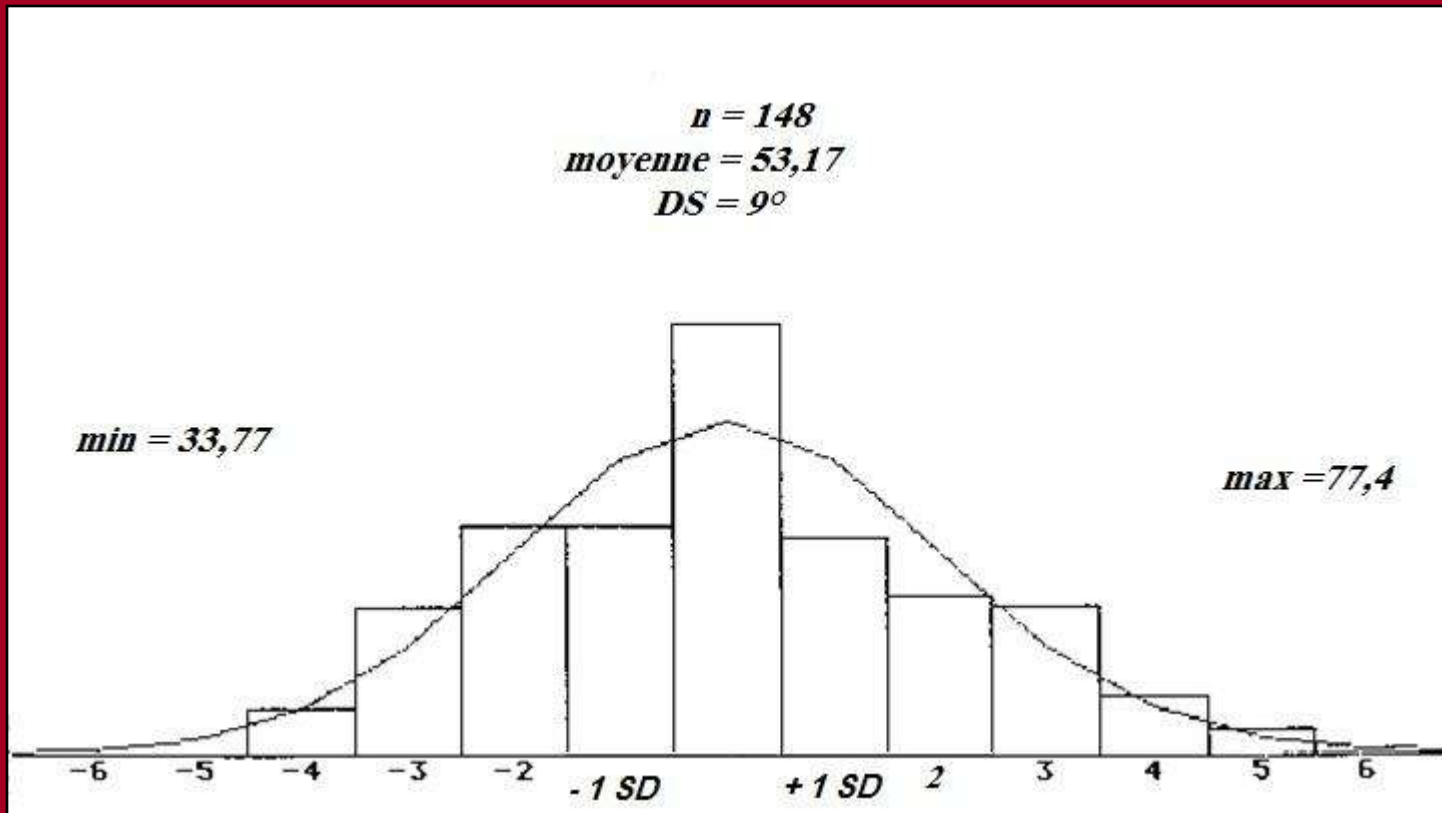
Valeur adulte, liée à l'indice de corpulence, atteinte en fin de puberté, stable ensuite, y compris avec le vieillissement

Mangione and al. (1997 *Eurospine*)  
Incidence in fetuses

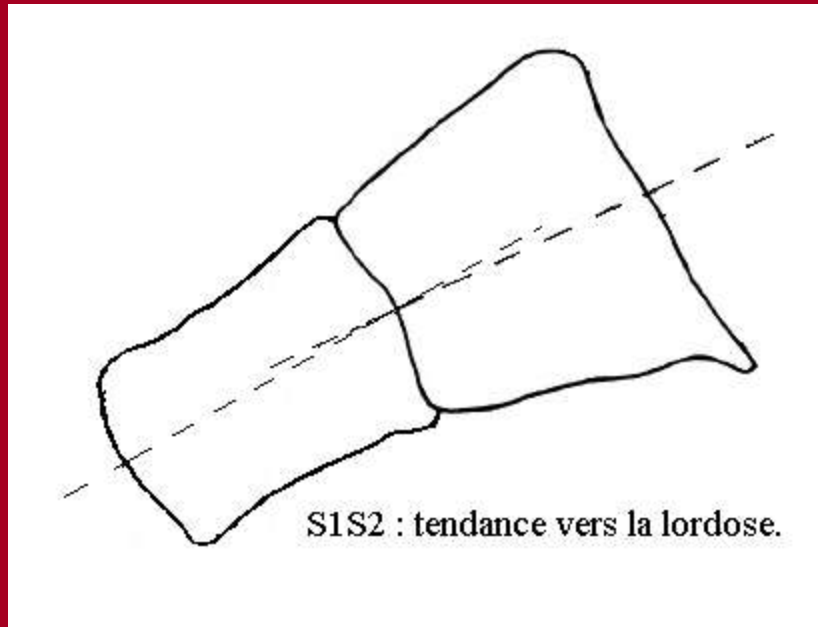


Chez le fœtus même valeur que chez le chimpanzé

# Distribution valeurs IP

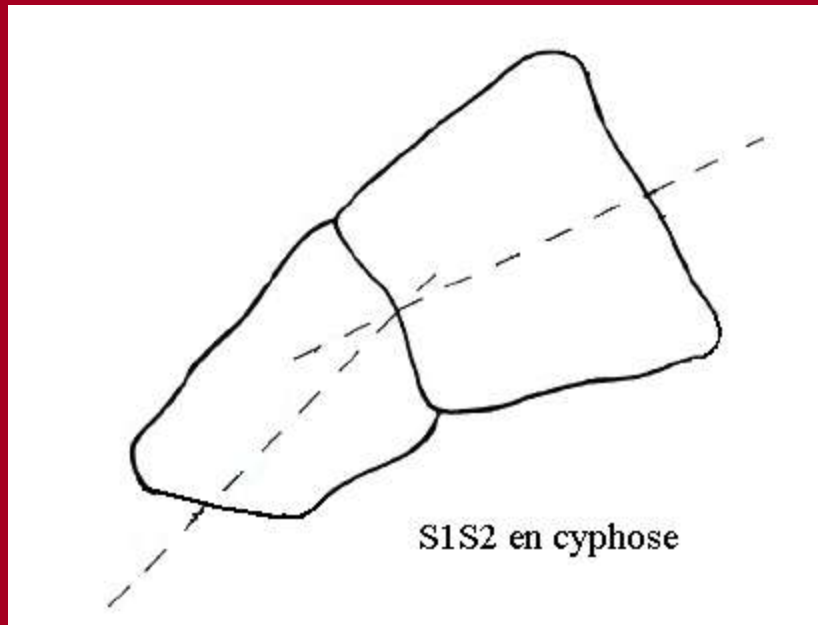


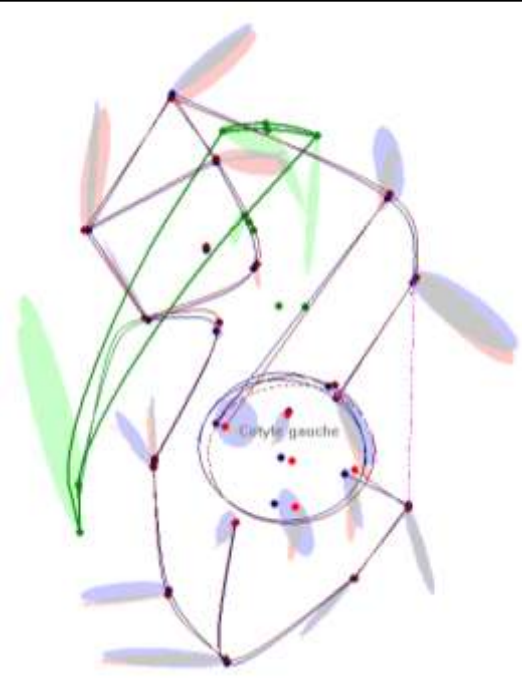
## Sacrum de type « Normal »



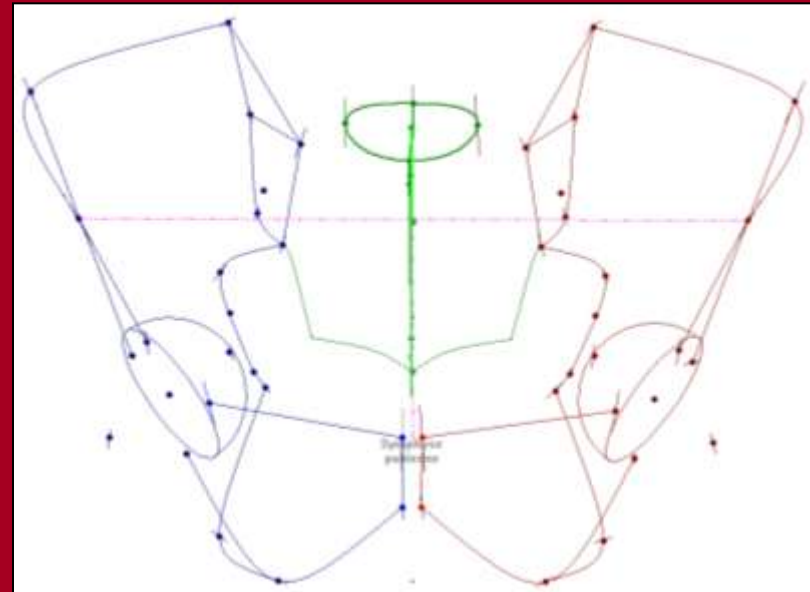
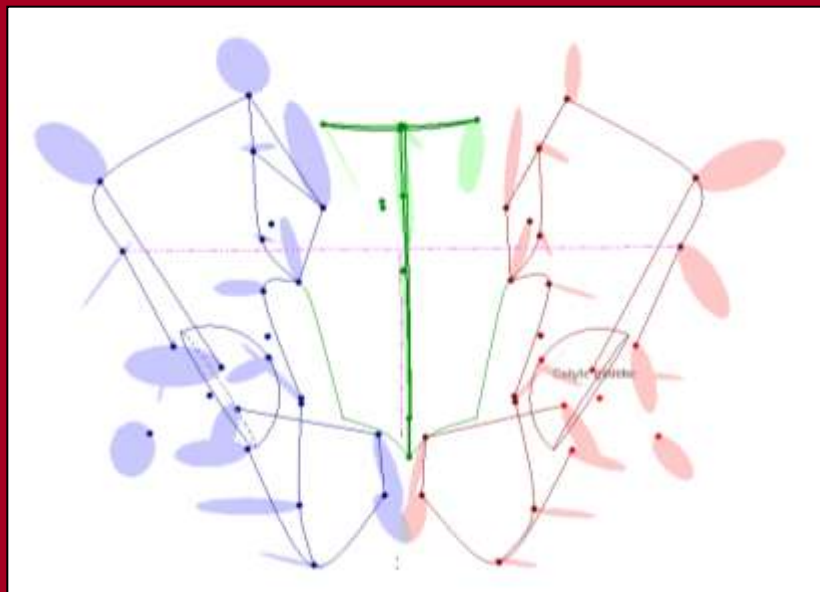
## Spondylolisthésis lytiques :

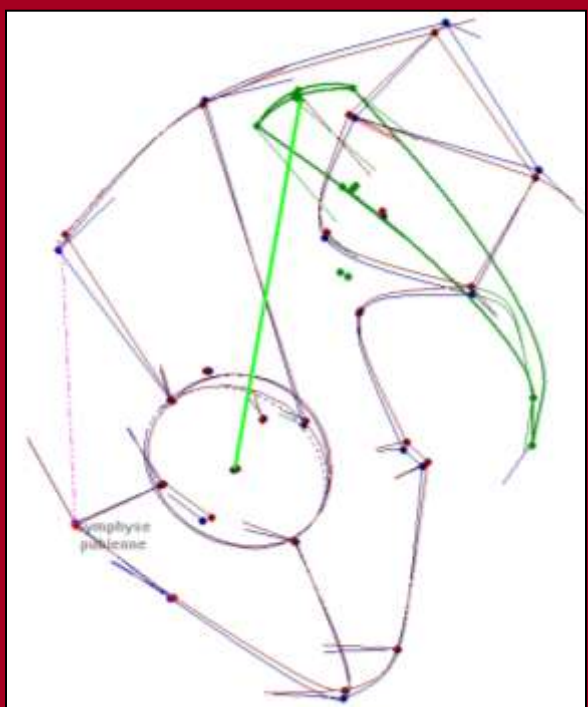
- Dysplasie de la partie antéro supérieure du sacrum
- Cyphose S1S2
- Incurvation de l'ensemble du sacrum



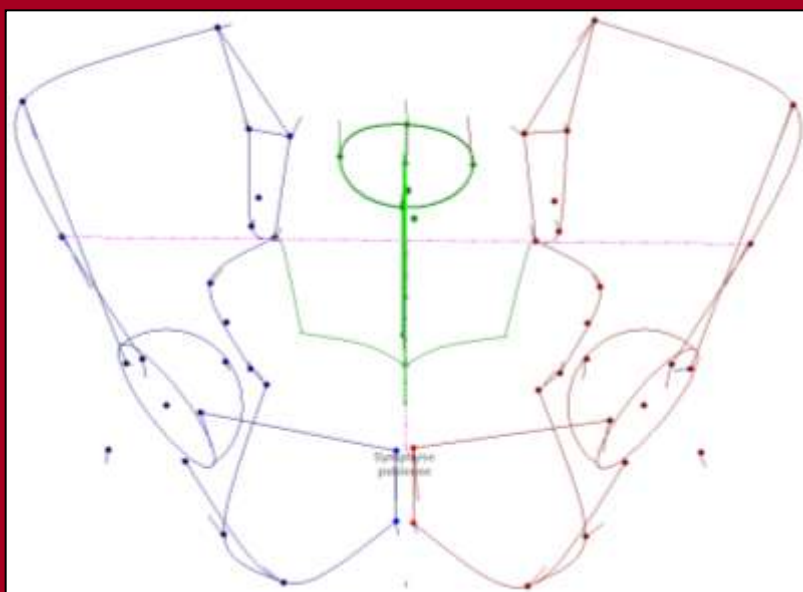
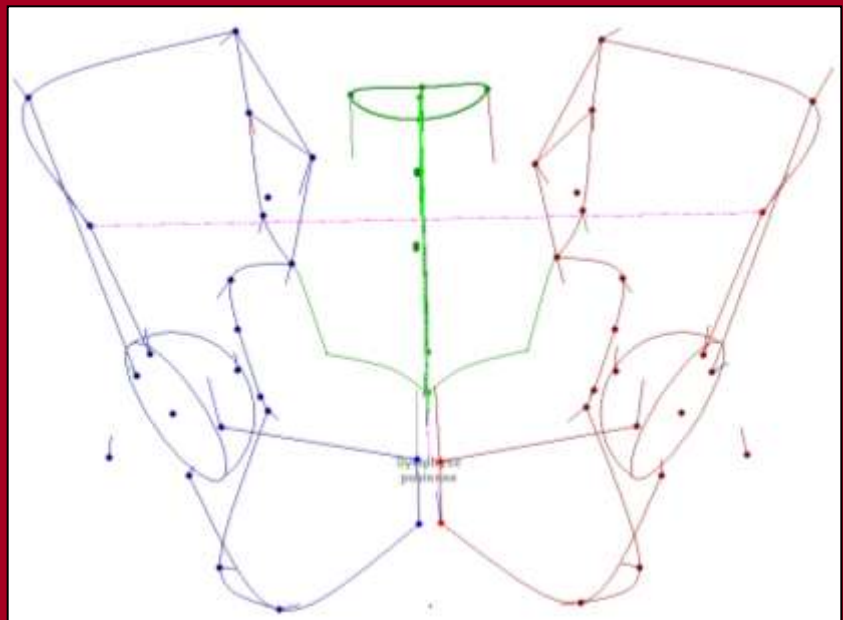
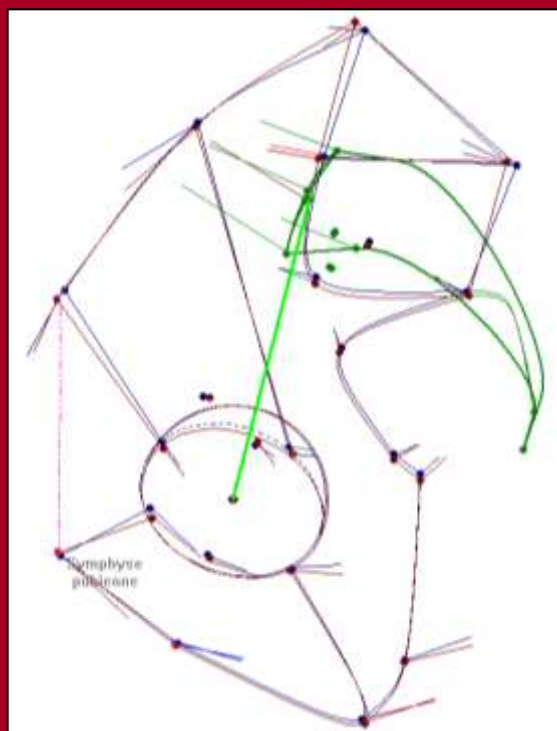


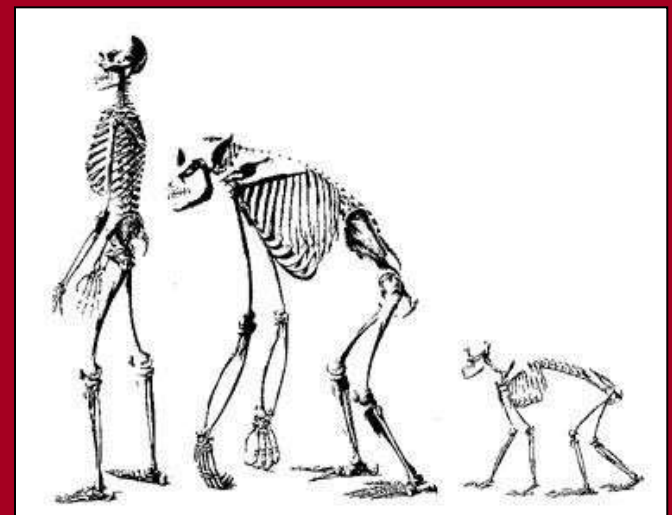
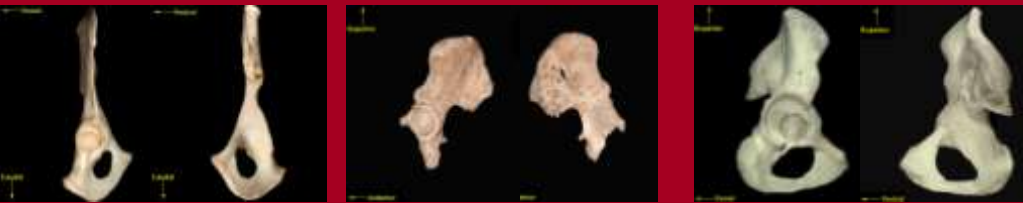
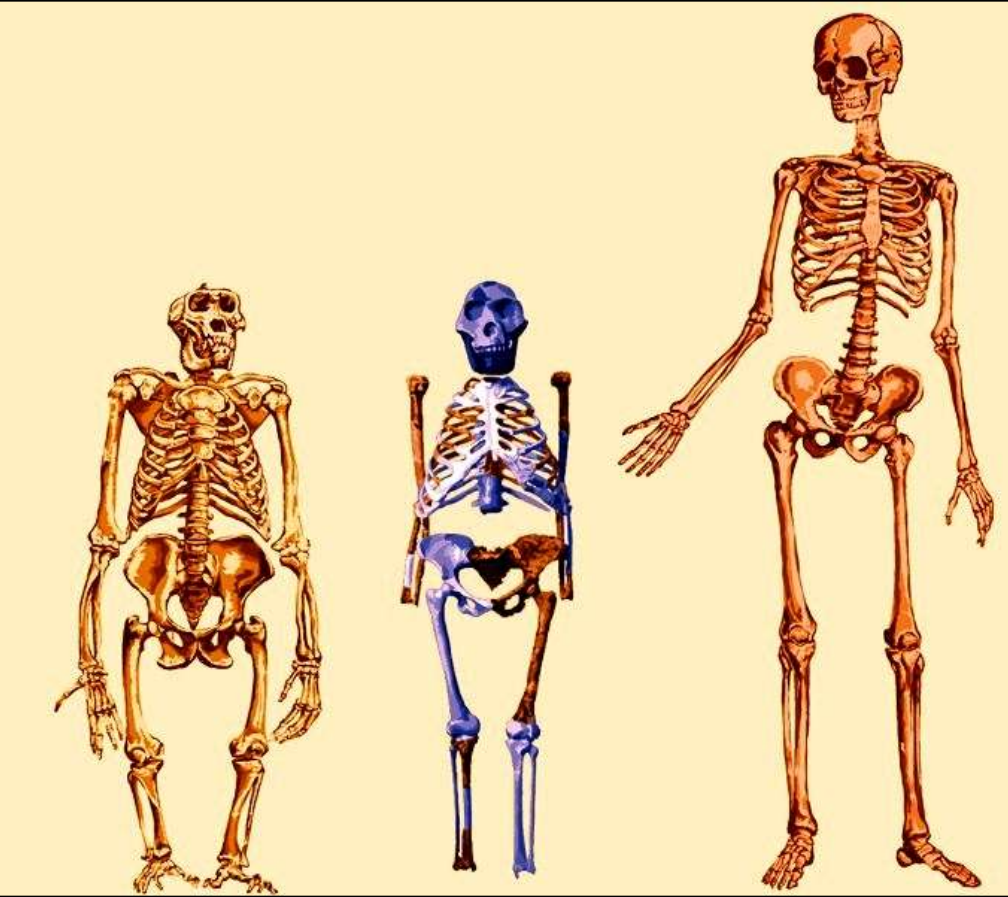
**5.6 | IP | 53.9**



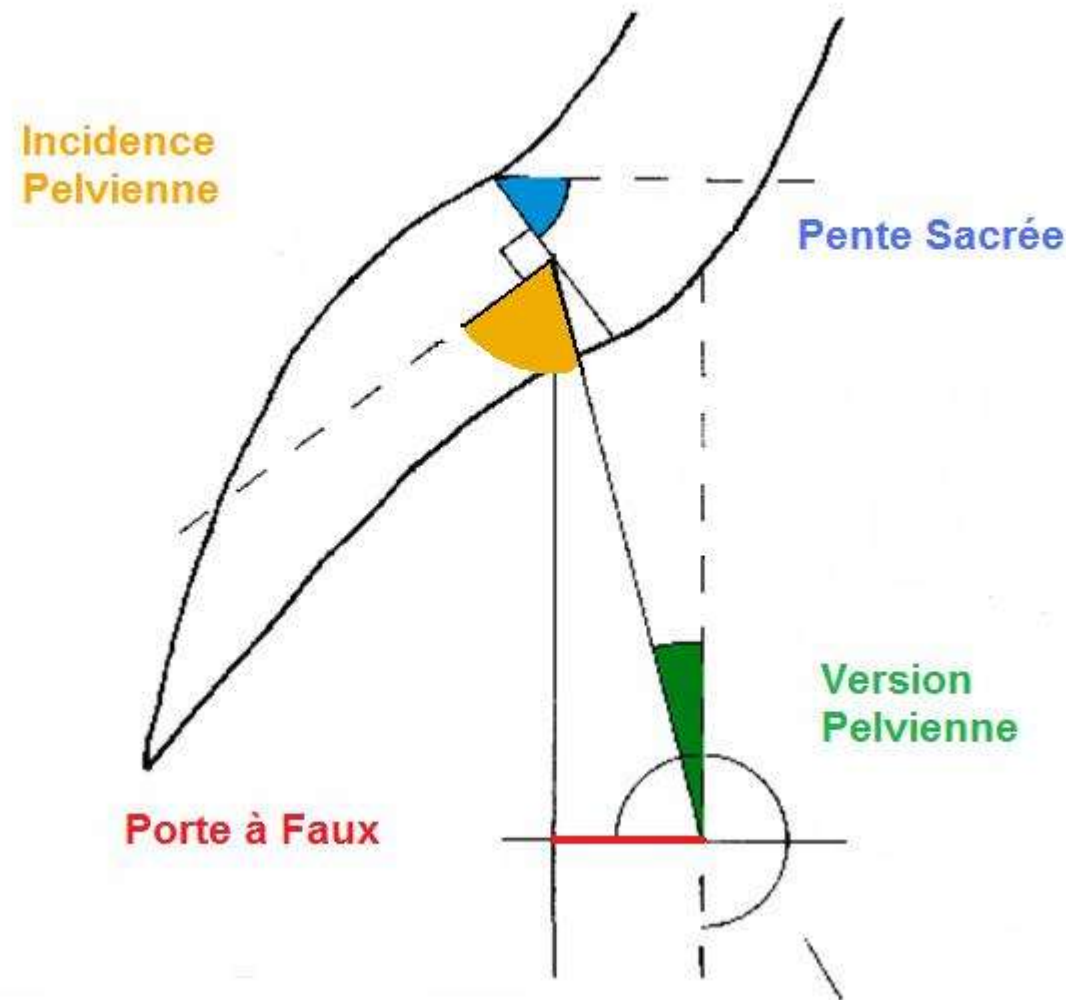


31.7 | IP | 77.8





# Paramètres positionnels



L'équilibre  
économique du tronc  
dépend de paramètres  
anatomiques pelviens  
  
( Duval Beaupère)

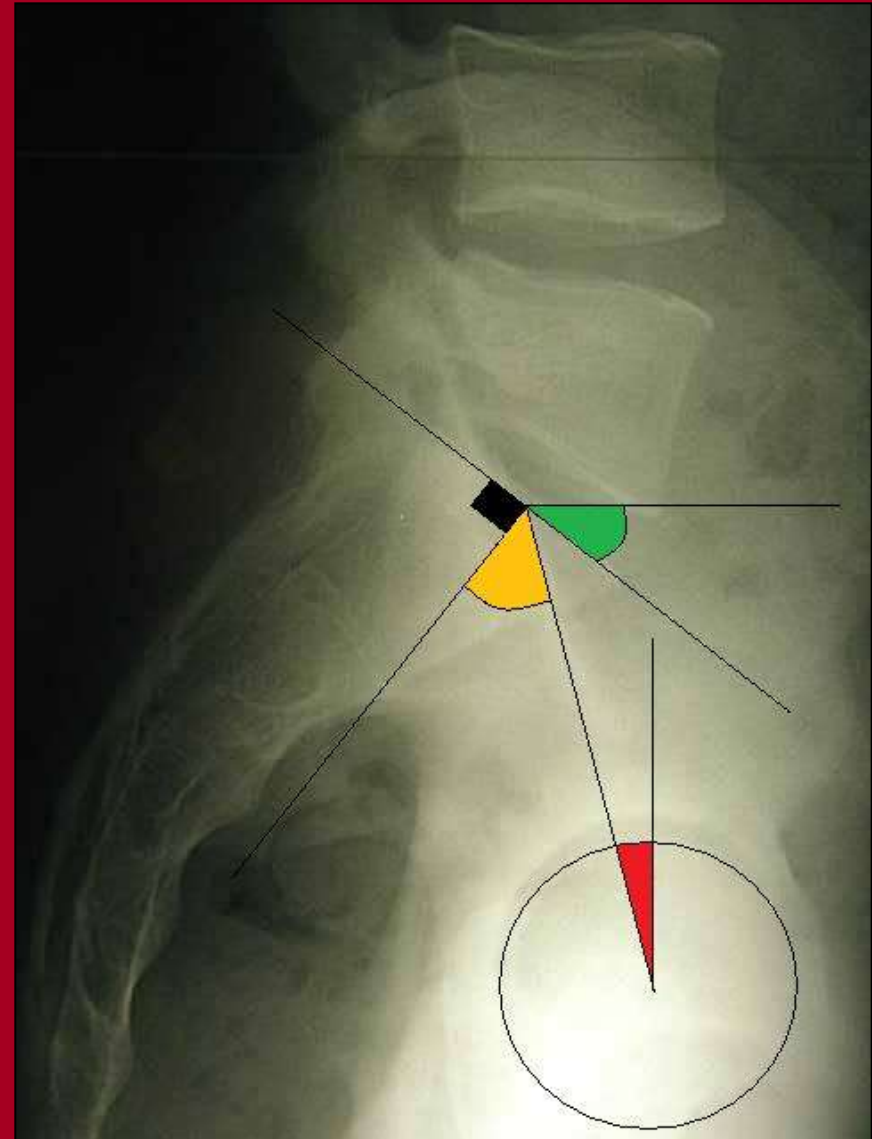
Incidence  
Pelvienne

=

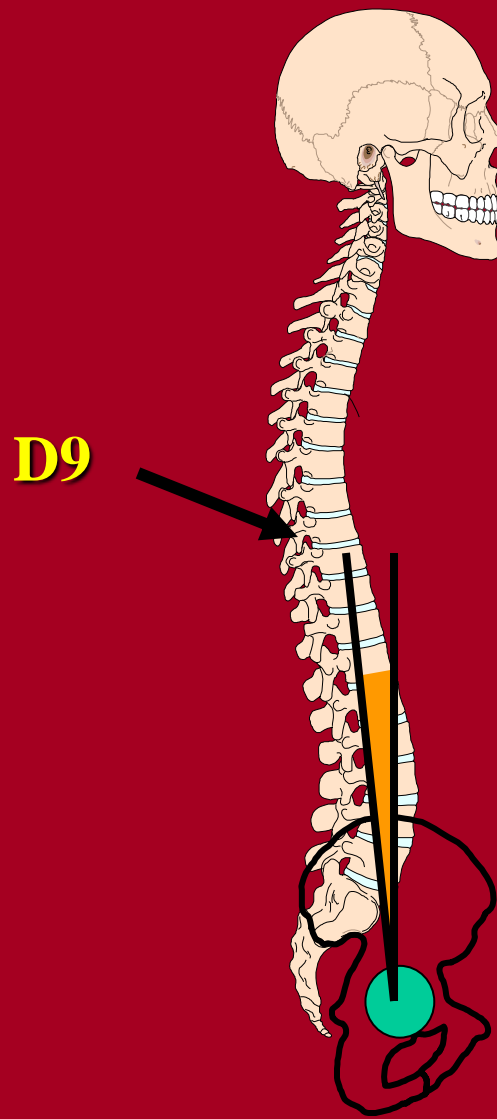
Pente Sacrée

+

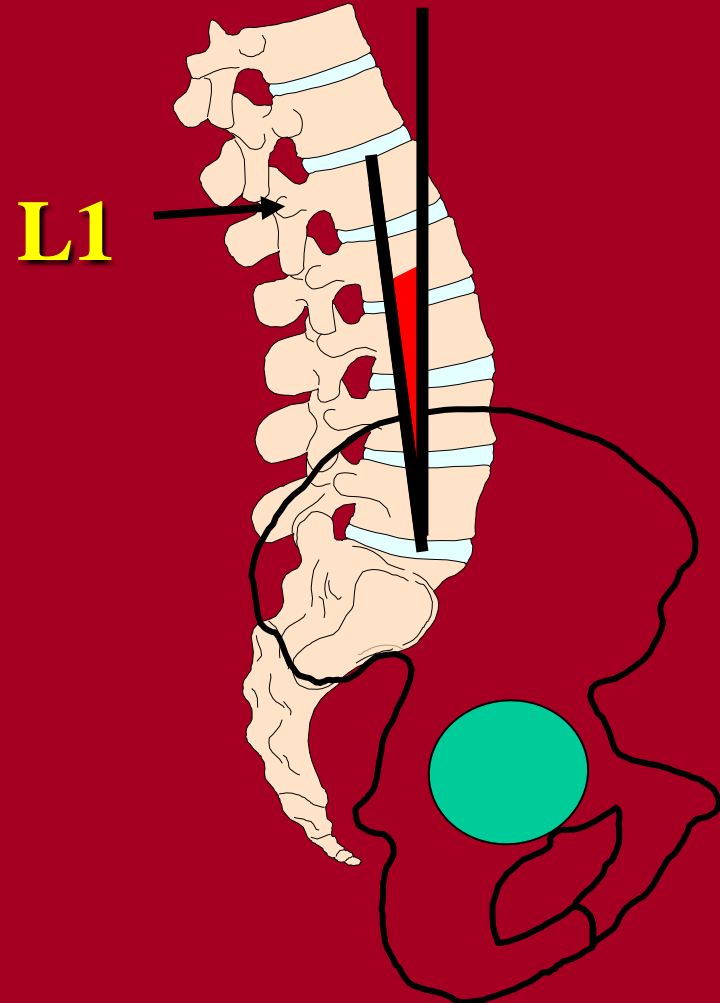
Version Pelvienne

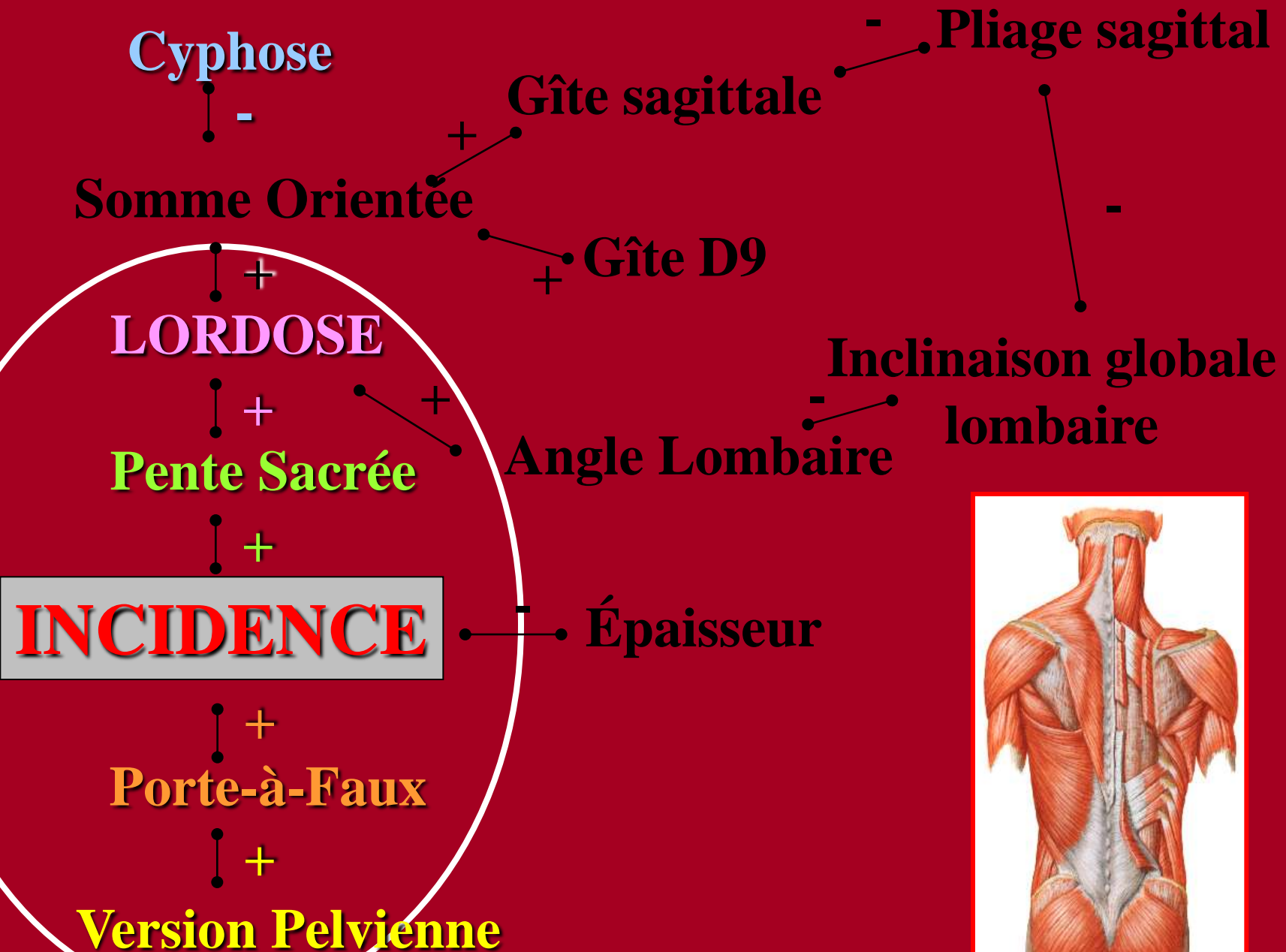


## La Gîte Sagittale de D9

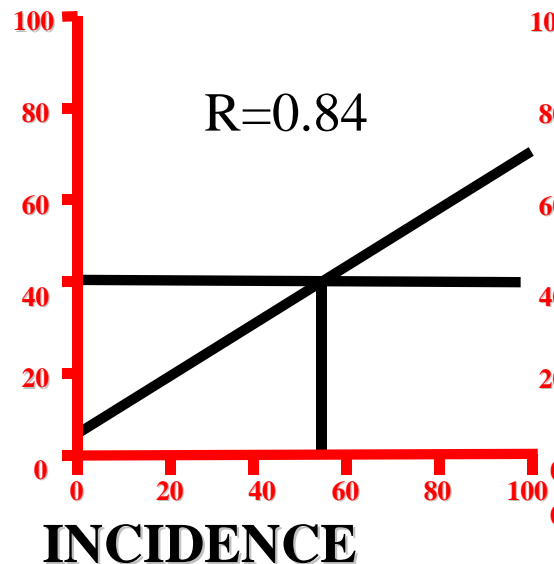


## La Gîte Lombaire

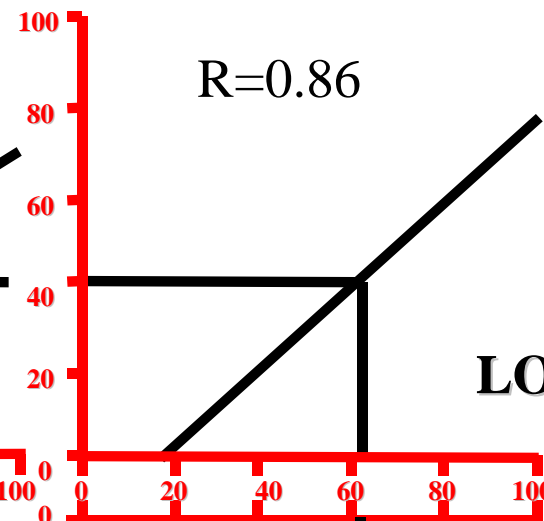




## PENTE SACREE



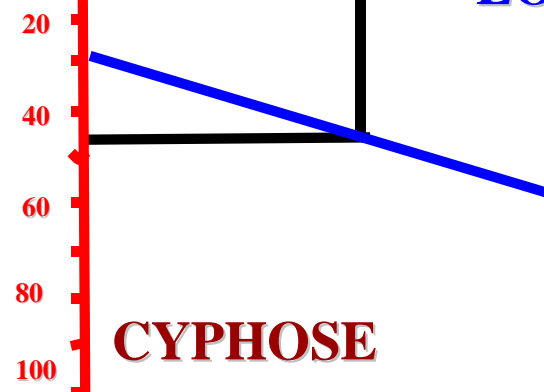
## PENTE SACREE



LORDOSE

LORDOSE

$$\begin{aligned} \text{Pente Sacrée} &= 0.5481 \text{ Incidence} + 12.7 \\ &\pm 6.39 \\ \text{Lordose} &= 1.087 \text{ pente sacrée} + 21.61 \\ &\pm 4.16 \end{aligned}$$



R=0.33

CYPHOSE

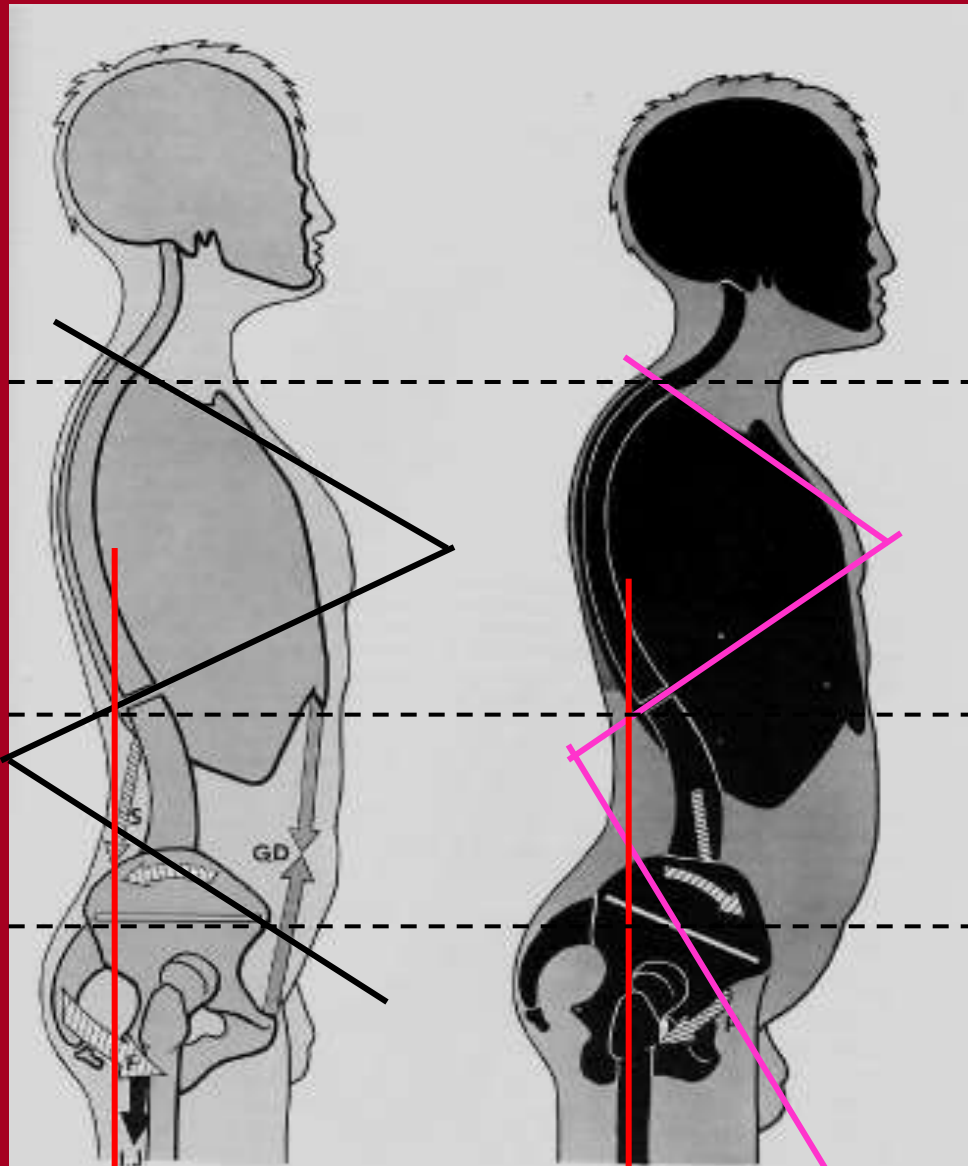
# Régulation de bas en haut

Lordose

Cyphose

Lordose

Paramètres  
pelviens

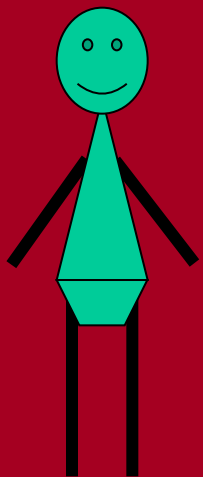


# Dérégulations

- Toutes topographies
- Physiologique : vieillissement
- ↘ lordose
- ↗ cyphose

# Dérégulations pathologiques

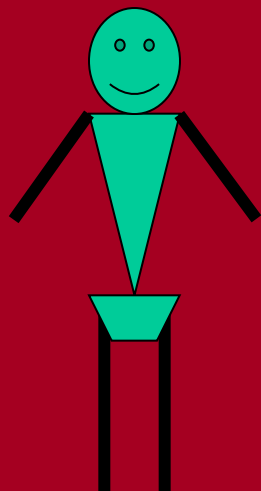
- Scheuermann
- Tassement
- Destabilisation iatrogéne
- Camptocormie
- Pathologies associées : Hanches, genoux



Équilibre économique



Équilibres contraints

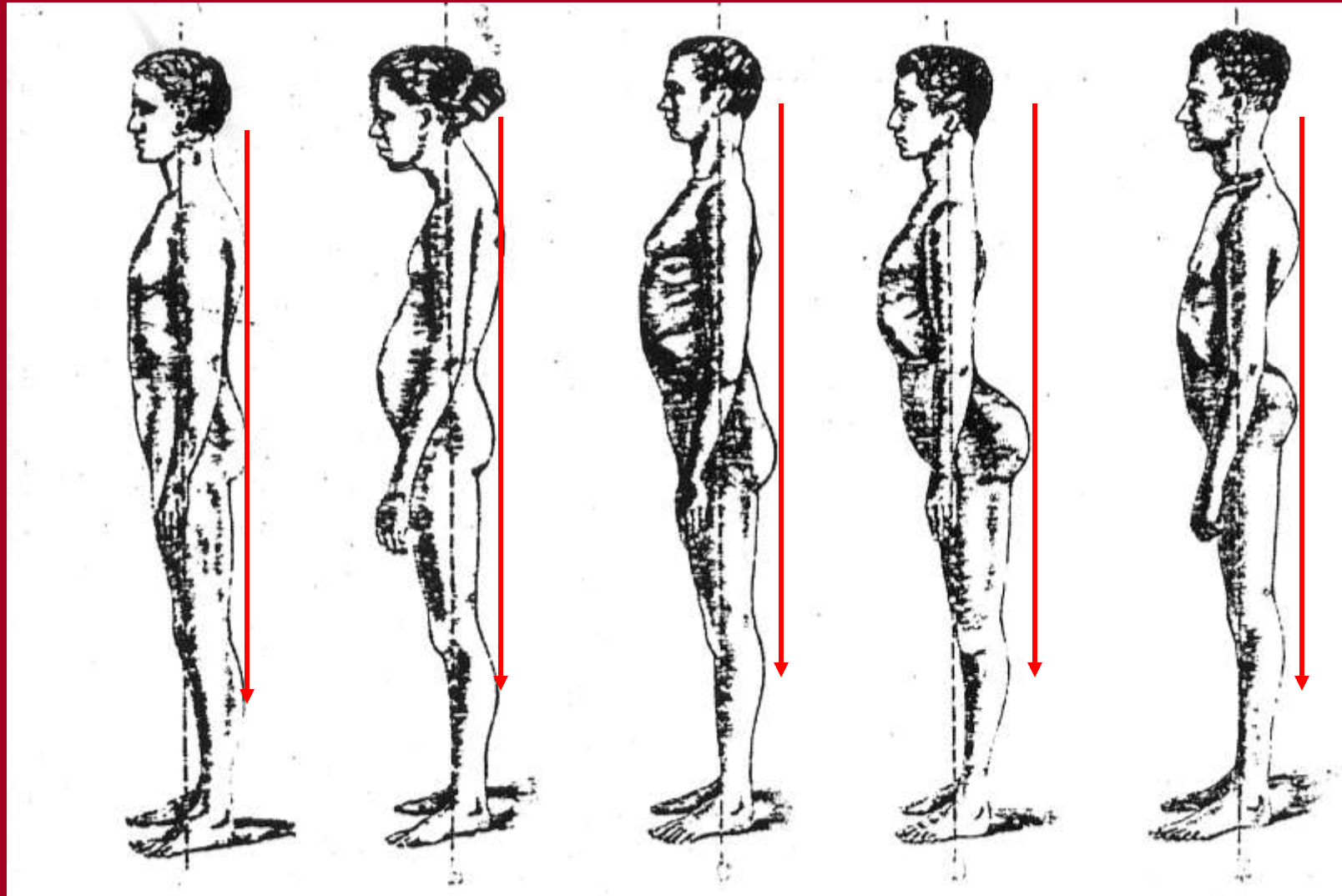


Déséquilibre



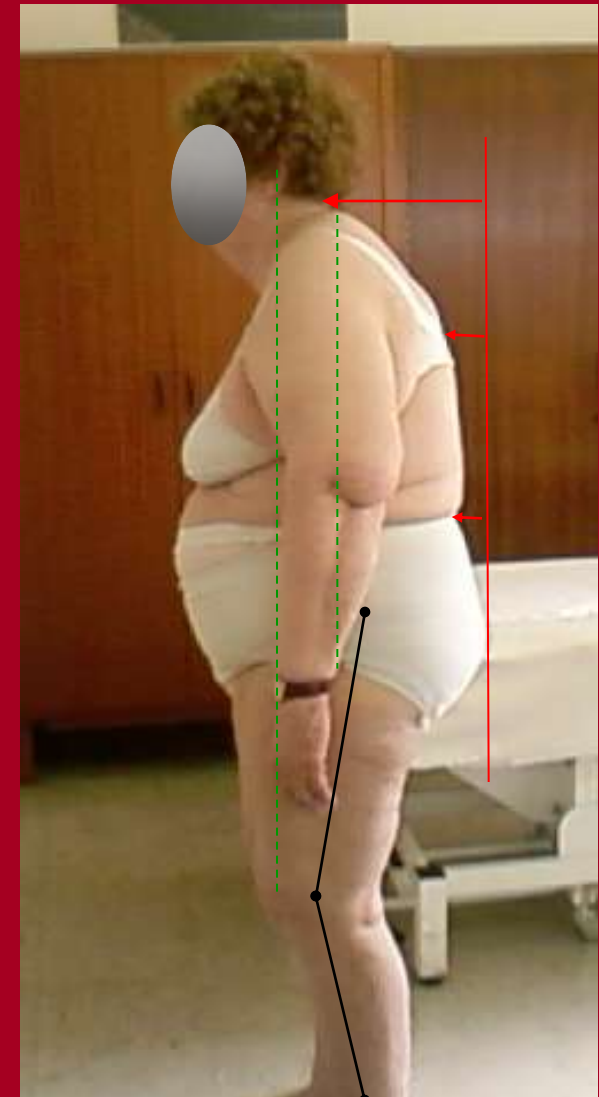
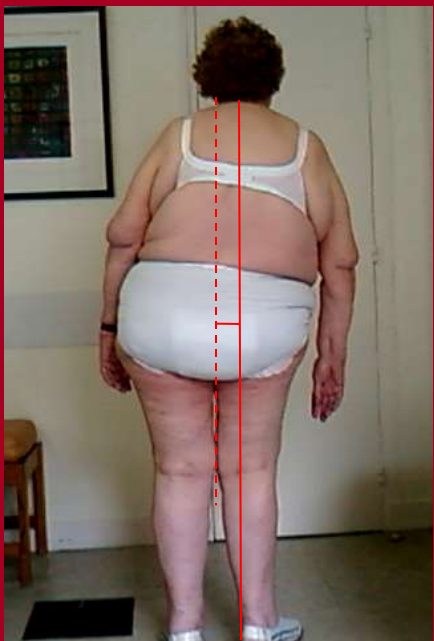
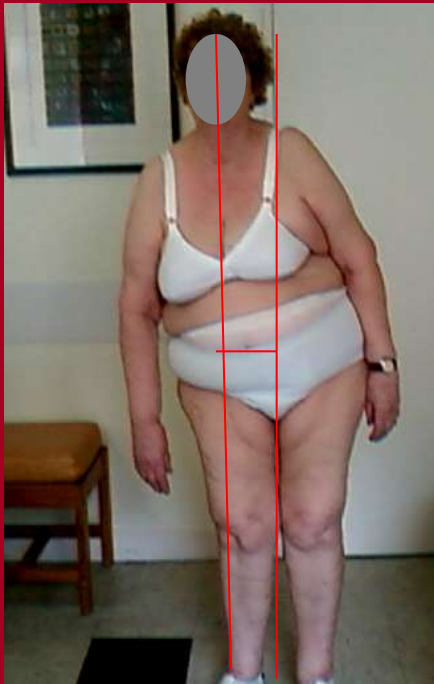
# EQUILIBRE SAGITTAL

## évaluation clinique



# Clinique

- Fléches
- Décalage
- Taille debout,  
couché, perte
- Silhouette





# EQUILIBRE SAGITTAL

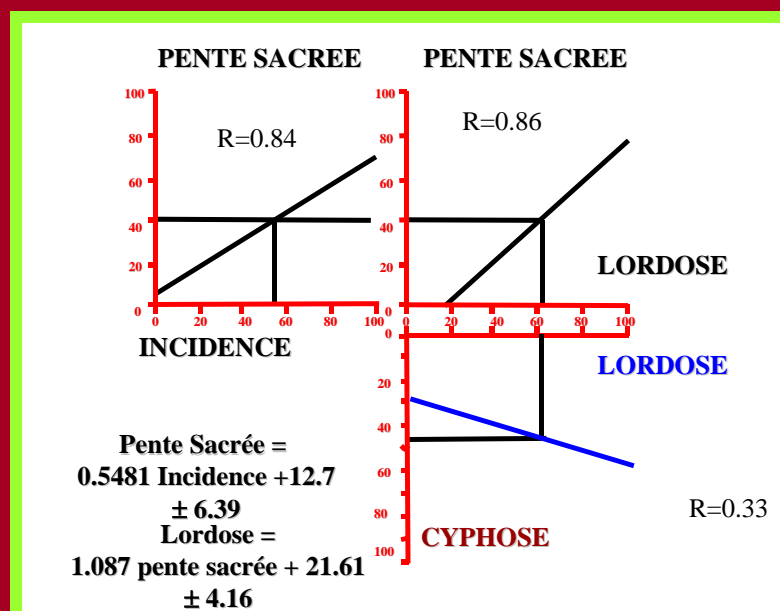
## évaluation radiologique

- Mesure des :
- paramètre anatomique pelvi-fémoral :  
Incidence Pelvienne
- paramètres posturaux pelvien et rachidien :  
Pente sacrée, Version Pelvienne, lordose,  
cyphose, nombre de vertèbres dans la lordose

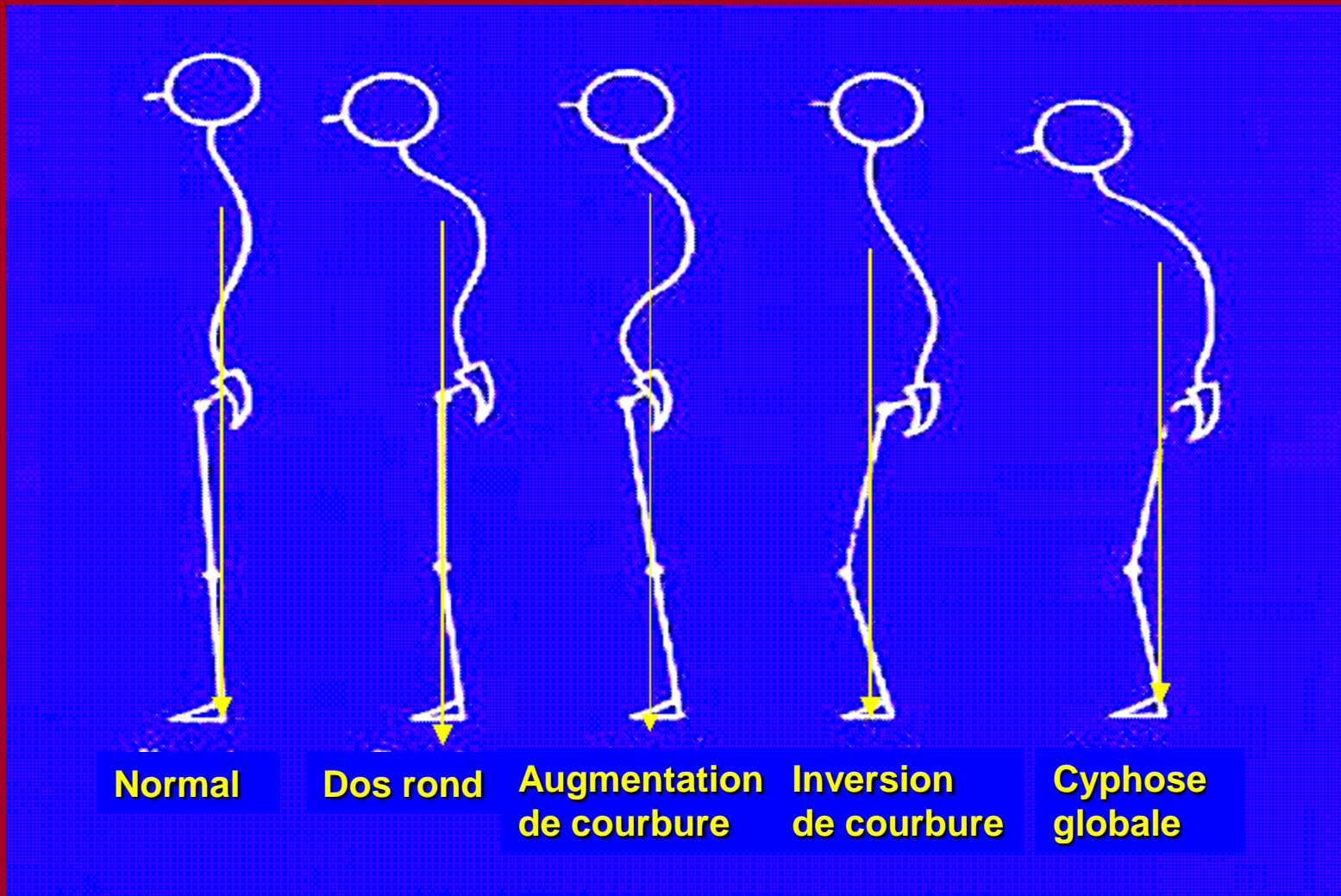
# EQUILIBRE SAGITTAL

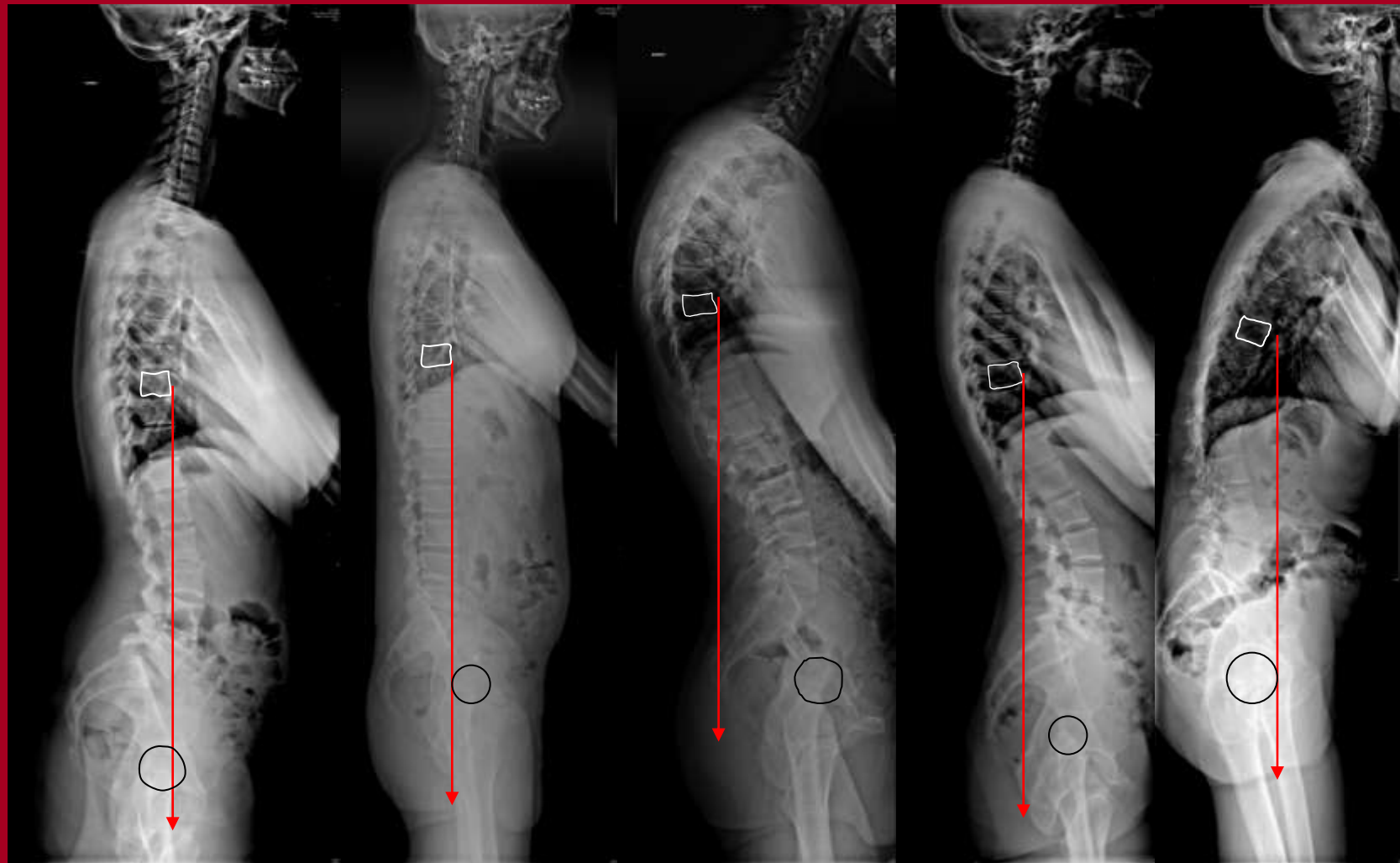
## évaluation radiologique

- Référence aux valeurs théoriques
- Définition d'une tendance vers l'équilibre économique



# Différents types de profils Itoi





- Anatomie : Incidence Pelvienne  
(bassin, sacrum)
- Posture : Pente sacrée  
Lordose vraie



EQUILIBRE ECONOMIQUE

- Lumbar sagittal balance influences the clinical outcome after decompression and posterolateral spinal fusion for degenerative lumbar spondylolisthesis.
- Kawakami M, Tamaki T, Ando M, Yamada H, Hashizume H, Yoshida M
- Spine. 2002 Jan 1;27(1):59-64